

## 境界面上の波源の問題に対する特異点の方法

東京電機大学 桜井 明

二つの一様な媒質をわける境界面上あるいはその近くに置かれた波源 (source) によってその両側の媒質にどのような衝撃波が生じ、これらがどのように伝播していくかを問題とする。この問題は單一媒質中におかれた波源の問題と比較して以下ののような著しい困難性がある。すて、單一媒質の場合については波源の近くを除けば個々の波源の性質によるない相似性があるのに表面波源の場合にはそのような相似性が成立しがたい。これに加えて、この個性の多少の違ひが結果で大きく違うことが多い。これは波源と境界面という二種類の特異性が重っていることによると考えられる。また、波源の個性が保たれる場所は波源の近くであり、当然に非線型性が最も大きい。従って解析的な研究はきわめて難かしい。

ここでは、このような困難性に対処する試みとして全体の場を線型モデルであらわし、波源附近の非線型性を含めた波源の個性をこの線型場の特異点の性質に代表させる方法を考

える。この場合、この線型モデルの適用範囲は当然、波源から充分はなれた場所で限られるわけであるが、実際問題として気体以外は波源の近くまでよい近似になつていい。

ところで線型モデルであるからこれは表面の実源から音波が発生、伝播する問題であり教科書にでもつてあるような感じにかゝるが著者の知る限りでは文献にあるのは單一媒質中で発生した波が境界面に達したときの内題や境界面波源で一方の媒質が真空の場合で、これらは後述のように直接に本問題のモデルとはならぬ。

以下主に液体が気体に接する場合について考え、さうに固体と液体の場合を言及する。

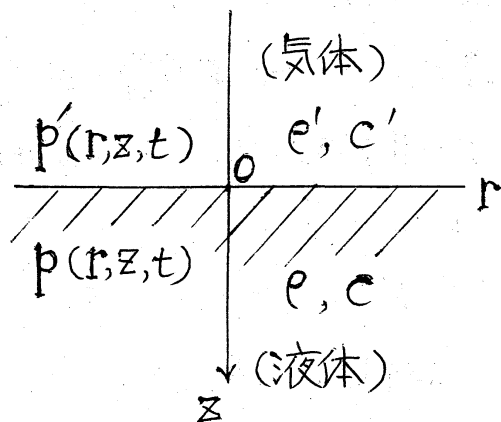
図のように波源の位置を原点  $O$ 、 $Z=0$  を境界面とする円柱座標  $(r, Z)$  をとり、

気体側 ( $Z < 0$ ) の圧力、密度

音速を  $P'$ ,  $\rho'$ ,  $c'$  液体側 ( $Z > 0$ )

のそれを  $P$ ,  $\rho$ ,  $c$  とする。ここで  $P$ ,  $P'$ ,  $\rho$ ,  $c$  は支えられた定数で  $P(r, Z, t)$ ,  $P'(r, Z, t)$  は  $r, Z$  よりび時間  $t$  の未定関数である。

さて、線型モデルであるから  $P$ ,  $P'$  はそれぞれ波動方程式



$$\ddot{p} = c^2 \Delta p, \quad \ddot{p}' = c^2 \Delta p' \quad (1)$$

を満足する。また  $\Delta \equiv \frac{1}{r} \frac{\partial}{\partial r} r \frac{\partial}{\partial r} + \frac{\partial^2}{\partial z^2}$  である。

また境界面  $z=0$  では  $r > 0$  の圧力および速度の法線成分  $u_z, u_z'$  の連続から

$$p - p' = 0, \quad u_z - u_z' = 0 \quad (2)$$

あるいは  $\dot{u}_z = -\frac{1}{\rho} \frac{\partial p}{\partial z}, \quad \dot{u}_z' = -\frac{1}{\rho'} \frac{\partial p'}{\partial z}$  とし

$$\frac{1}{\rho} \frac{\partial p}{\partial z} - \frac{1}{\rho'} \frac{\partial p'}{\partial z} = 0. \quad (3)$$

さて(2) 原点  $z=r=0$  では適當な対称性をもつて

$p - p'$  と  $\frac{1}{\rho} \frac{\partial p}{\partial z} - \frac{1}{\rho'} \frac{\partial p'}{\partial z}$  が無限大でなければならぬ。

以下の条件を満足する  $p, p'$  を求めるため、すう波動方程式(1)の解  $p, p'$  をこれより Laplace-Hankel 変換  $b(\omega, s), b'(\omega, s)$  を用いて次のようにある。

$$p(r, z, t) = L^{-1} \left[ \int_0^\infty b(\omega, s) e^{-az} J_0(\omega r) \omega d\omega \right] \quad z \geq 0$$

$$p'(r, z, t) = L^{-1} \left[ \int_0^\infty b'(\omega, s) e^{az} J_0(\omega r) \omega d\omega \right] \quad z \leq 0$$

$$z \geq 0 \quad (4)$$

$$a = \sqrt{\omega^2 + \frac{s^2}{c^2}}, \quad a' = \sqrt{\omega^2 + \frac{s^2}{c'^2}}$$

また  $L^{-1}$  は Laplace 変換

$$L(\ ) \equiv \int_0^\infty (\ ) e^{-st} dt$$

の逆変換をあらわす。

従って

$$(p - p')_{z=0} = L^{-1} \left[ \int_0^\infty (b - b') J_0(\omega r) \omega d\omega \right]$$

$$\left( \frac{1}{p} \frac{\partial p}{\partial z} - \frac{1}{p'} \frac{\partial p'}{\partial z} \right)_{z=0} = L^{-1} \left[ \int_0^\infty \left( -\frac{a}{p} b - \frac{a'}{p'} b' \right) J_0(\omega r) \omega d\omega \right]$$

と  $z \neq 0$

$$\int_0^\infty J_0(\omega r) \omega d\omega = \begin{cases} 0 & r \neq 0 \\ \infty & r = 0 \end{cases}$$

$$\int_0^\infty r dr \int_0^\infty J_0(\omega r) \omega d\omega = 1 \quad (5)$$

あるいは記号的

$$\int_0^\infty J_0(\omega r) \omega d\omega = \frac{\delta(r)}{r} \quad (6)$$

である。ここで本来は  $\omega, s$  の関数である  $b - b'$   
または  $-ab/p - a'b'/p'$  が "  $\omega$  に無関係で"  $s$   
だけの関数であるとし、任意の関数  $\gamma_1(s), \gamma_2(s)$   
を用いて  $b - b' = \gamma_1(s), -\frac{a}{p}b - \frac{a'}{p'}b' = \gamma_2(s)$  (7)

とおくと

$$(p - p')_{z=0} = L^{-1} [\chi_1(s)] \frac{\delta(r)}{r} \quad (8)$$

$$\left( -\frac{1}{r} \frac{\partial p}{\partial z} - \frac{1}{r'} \frac{\partial p'}{\partial z'} \right)_{z=0} = L^{-1} [\chi_2(s)] \frac{\delta(r)}{r} \quad (9)$$

となって  $z=r=0$  の特異性がえらばれた。

ところで式(5), (6) を用いて上式(8), (9)は

$$\int_0^\infty (p - p')_{z=0} r dr = L^{-1} [\chi_1(s)]$$

$$\int_0^\infty \left( -\frac{1}{r} \frac{\partial p}{\partial z} - \frac{1}{r'} \frac{\partial p'}{\partial z'} \right) r dr = L^{-1} [\chi_2(s)]$$

となり、従つて

$$\chi_1(s) = L \left[ \int_0^\infty (p - p')_{z=0} \cdot r dr \right] = L [F(t)]$$

$$\chi_2(s) = L \left[ \int_0^\infty \left( -\frac{1}{r} \frac{\partial p}{\partial z} - \frac{1}{r'} \frac{\partial p'}{\partial z'} \right)_{z=0} \cdot r dr \right] = L [W(t)]$$

$$\text{ここで } F(t) \equiv \int_0^\infty (p - p')_{z=0} \cdot r dr \quad (10)$$

$$W(t) \equiv \int_0^\infty \left( -\frac{1}{r} \frac{\partial p}{\partial z} - \frac{1}{r'} \frac{\partial p'}{\partial z'} \right)_{z=0} \cdot r dr \quad (11)$$

である。関数  $F(t), W(t)$  は実源の入力をあらわすが、これらはこのモデルでの波源の個性を代表しているものである。

次に式(7)から  $b(\omega, s)$ ,  $b'(\omega, s)$  は

$$b(\omega, s) = \frac{\kappa_1 - \frac{p'}{\alpha'} \kappa_2}{1 + \frac{p'}{\rho} \frac{\alpha}{\alpha'}}, \quad b'(\omega, s) = - \frac{\frac{p'}{\rho} \frac{\alpha}{\alpha'} \kappa_1 + \frac{p'}{\alpha} \kappa_2}{1 + \frac{p'}{\rho} \frac{\alpha}{\alpha'}} \quad (12)$$

となり、これと式(4)に代入すればえられた  $F(t), W(t)$  に対して解  $p, p'$  が定つことになる。

さて、2の解  $p, p'$  の性質を見るために気体と液体の場合  $\rho'/\rho \ll 1$  なることを考慮して式(12)を近似すると

$$b(\omega, s) = \kappa_1 - \frac{p'}{\alpha'} \kappa_2, \quad b'(\omega, s) = - \frac{p'}{\alpha'} \kappa_2$$

従つて

$$p(r, z, t) = L^{-1} \left[ \kappa_1(s) \cdot \int_0^\infty e^{-az} J_0(\omega r) \omega d\omega - p' \kappa_2(s) \int_0^\infty \frac{1}{\alpha'} e^{-az} J_0(\omega r) \omega d\omega \right],$$

$$p'(r, z, t) = L^{-1} \left[ -p' \kappa_2(s) \int_0^\infty \frac{1}{\alpha'} e^{az} J_0(\omega r) \omega d\omega \right]$$

となる。

ところでベッセル関数やラプラス変換の公式を用いて

$$\begin{aligned} L^{-1} \left[ \kappa_1(s) \int_0^\infty e^{-az} J_0(\omega r) \omega d\omega \right] \\ = -\frac{\partial}{\partial z} \frac{F(t - \frac{q}{c})}{q} \cdot H(t - \frac{q}{c}), \quad (z > 0) \end{aligned}$$

$$\begin{aligned} & L^{-1} \left[ x_2(s) \cdot \int_0^\infty \frac{e^{-\alpha'z}}{\alpha'} J_0(r\omega) \omega d\omega \right] \\ &= -\frac{1}{q} W(t - \frac{q}{c'}) H(t - \frac{q}{c'}) \quad (z \leq 0) \end{aligned}$$

但し  $q = \sqrt{r^2 + z^2}$ ,  $H(x) = \begin{cases} 1, & x \geq 0 \\ 0, & x < 0 \end{cases}$

となるから

$$p(r, z, t) = -\frac{\partial}{\partial z} \frac{F(t - \frac{q}{c'})}{q} \cdot H(t - \frac{q}{c'}) + p_a(r, z, t), \quad (13)$$

$$p'(r, z, t) = \frac{p' W(t - \frac{q}{c'})}{q} H(t - \frac{q}{c'}) \quad (14)$$

$$p_a \equiv L^{-1} \left[ -p' x_2(s) \int_0^\infty J_0(r\omega) \frac{e^{-\alpha z}}{\alpha} \omega d\omega \right] \quad (15)$$

となる。

これから、気中の波  $p'$  は、この近似では波源からの球面波であり、一方、液中の波  $p$  の第1項は双極子であるが、第2項は  $p_a(r, 0, t) = p'(r, 0, t)$  であるから。これは気中の波によって2次的に液中に生じた、所謂 airblast induced shock をあらわすと解釈できる。以上から  $p'$  については液体部を剛体の如く假定したモデルが適当であるが、 $p$  については双極子つまり液体部を真空としたモデルでは不完全なことわかる。さらに入力関数  $F(t)$ ,  $W(t)$  は任意であるが、これらは独立でなく式

(10), (11) によって関係づけられている。従って  $p, p'$  を各々に上のようないくつかのモデルを立てるにしてもそれらを独立に支えることは出来ないわけである。このような特性がこの解で何自然に与えられることが、この方法の利点といえる。

さて入力関数  $F(t), W(t)$  は現実の波源の特性に基いて求められるが、この際、實際には  $r \sim 0$  で  $p \gg p', u_z \ll U_0$  であるとか、一様媒質中の波源の場合の  $\rho$  が知らぬれば実験データーを用いて決定できる。水平面上の火薬の爆発によって水中に起る衝撃波の場合について、このようにして求められた  $F(t), W(t)$  を用いて計算された  $p$  の値は実測値とよい一致を示した。

次に同じ方法で  $Z < 0$  が気体、 $Z > 0$  が弾性体の場合を考える。この場合、弾性体内には二つの変位ポテンシャル  $\varphi(r, z, t), \psi(r, z, t)$  で与えられ、これらは伝播速度が与えられ  $C_D, C_S$  なる波動方程式  $\ddot{\varphi} = C_D^2 \Delta \varphi, \ddot{\psi} = C_S^2 \Delta \psi$  を満足する。これらの解を式(4)と同形に取扱う。また境界面  $Z=0$  では  $Z$  方向の速度  $u_z, u'_z$  およびストレス  $\sigma_{zz}, \sigma'_{zz}$  の連続から

$$\mathcal{L}\{(u_{zz} - p')_{z=0}\} = \frac{\delta(r)}{r} \chi_1(s), \quad \mathcal{L}\{(u_z - u'_z)_{z=0}\} = \frac{\delta(r)}{r} \chi_2(s)$$

$$\mathcal{L}\{(\sigma_{zz})_{z=0}\} = \frac{\delta(r)}{r} \chi_3(s)$$

とおくと原点で適当な特異性をもつ方解が定まる。(終)